



**بررسی کارایی فرآیند الکتروکواگولاسیون با جریان متناوب و مستقیم در حذف سرب از فاضلاب صنعت باتری سازی با استفاده از الکترودهای میله ای آهنی و فولاد ضد زنگ**

**نویسنده‌گان: حسین جعفری منصوریان<sup>۱</sup> امیرحسین محیو<sup>۲</sup> ادریس بذرافشان<sup>۳</sup> احمد جنیدی جعفری<sup>۴</sup>**

۱. نویسنده مسئول: مریمی مرکز تحقیقات ارتقای سلامت، دانشگاه علوم پزشکی زاهدان

تلفن: ۰۹۱۸۸۱۳۳۸۵۴ Email: h.mansoorian@yahoo.com

۲. استادیار موسسه تحقیقات محیط زیست، دانشگاه علوم پزشکی تهران

۳. دانشیار مرکز تحقیقات ارتقای سلامت دانشگاه علوم پزشکی زاهدان

۴. دانشیار گروه مهندسی بهداشت محیط، دانشگاه علوم پزشکی ایران

## طлоع بهداشت

### چکیده

**مقدمه:** سرب از سمی ترین فلزات سنگین غیر ضروری موجود در محیط زیست بوده که از نظر سمیت، در زمرة آلاینده های درجه اول قرار می گیرند. در این مطالعه کارایی الکتروکواگولاسیون با جریان متناوب و مستقیم با استفاده از الکترودهای میله ای آهن و فولاد ضدزنگ در حذف سرب از فاضلاب صنعت باتری سازی مورد بررسی قرار گرفته است.

**روش بررسی:** نمونه های فاضلاب از صنعت باتری سازی گرفته شد. در سلول الکتروشیمیایی از الکترودهای میله ای آهن و فولاد ضدزنگ استفاده و اتصال آنها به یکدیگر به صورت سری و به منع تعذیه به صورت تک قطبی صورت گرفت.

**یافته ها:** کاربرد جریان متناوب، با الکترود آهن در دانسیته جریان  $6\text{mA/cm}^2$  موجب حذف سرب تا ۹۶/۷٪ نشد و با الکترود فولاد ضد زنگ در دانسیته جریان  $8\text{mA/cm}^2$  برابر با ۹۳/۸٪ بدست آمد. با کاربرد جریان مستقیم حذف بهینه سرب با الکترود آهن به ترتیب برابر با ۹۷/۲٪ در دانسیته جریان  $6\text{mA/cm}^2$  و با الکترود فولاد ضدزنگ برابر با ۹۳/۲٪ در دانسیته جریان  $8\text{mA/cm}^2$  حاصل شد.

**نتیجه گیری:** نتایج حاصل از این تحقیق با موارد مشابه انجام شده توسط محققین دیگر همخوانی دارد. با توجه به داده های حاصل شده این فرایند می تواند به عنوان روشی مناسب برای توسعه فرایند الکتروکواگولاسیون در مقیاس صنعتی در حذف سرب از محیط های آبی مطرح گردد.

**واژه های کلیدی:** حذف سرب، الکتروکواگولاسیون، جریان مستقیم، جریان متناوب، الکترود آهن و فولاد، ضد زنگ

مجله علمی پژوهشی

دانشکده بهداشت یزد

سال سیزدهم

شماره: اول

فروردين و اردیبهشت ۱۳۹۳

شماره مسلسل: ۴۳

تاریخ وصول: ۱۳۹۲/۱/۲۷

تاریخ پذیرش: ۱۳۹۲/۴/۱۲



#### مقدمه

استخراج با حلal، تصفیه شیمیایی، جذب سطحی و الکتروکواگولاسیون می باشد. هر روش تصفیه ای مزایا و معایب دارد برای مثال روش های فیزیکی مانند تبادل یون، اسمز معکوس و الکترودیالیز برای حذف سرب پرهزینه و یا ناکارامد هستند. تصفیه های شیمیایی نیز به علت معایب همانند هزینه های بالای نگهداری، مشکلات جابجایی لجن و دفع آن و خنثی سازی پساب قابل استفاده نیستند. هم چنین حذف سرب از آب توسط جذب سطحی با استفاده از مواد مختلف مورد بررسی قرار گرفته است. معایب اصلی این جاذب های مورد مطالعه کارایی کم و هزینه بالای آنها می باشد (۱۱-۷). در میان روش های مختلف ذکر شده در بالا، یک تکنولوژی مؤثر که نیازهای فرایند تمیزسازی، دست کاری آسان، هزینه های سرمایه گذاری و بهره برداری و قوانین زیست محیطی را برآورده می کند الکتروکواگولاسیون می باشد. این تکنولوژی برای اولین بار در قرن نوزدهم برای تصفیه فاضلاب چپس به کار رفته و اخیراً به عنوان یک جایگزین برای بیشتر فرایندهای متداول تصفیه به کار می رود (۱۳، ۱۲). تکنولوژی های الکتروکواگولاسیون اساساً فرایندهای الکترولیتیکی هستند که شامل ناپایدارسازی جامدات معلق، آلاینده های امولسیون یا حل شده در یک محیط آبی از طریق کاربرد جریان الکتریکی است (۱۵، ۱۴).

الکترو کوا گولاسیون، فراینده است که شامل لخته های هیدروکسید فلزی تولید شده در فاضلاب از طریق تجزیه الکتریکی آندهای قابل حل، که معمولاً از آهن و آلومینیوم ساخته شده اند، می باشد. اکسیداسیون الکتروشیمیایی آهن یا آلومینیوم در

برخی از پساب های صنعتی حاوی فلزات سنگین از قبیل کادمیوم، کروم، مس، نیکل، جبوه، سرب و غیره هستند که تخلیه مستقیم آنها در محیط زیست مضر می باشد. امروزه آلودگی فلزات سنگین به یکی از جدی ترین مشکلات زیست محیطی تبدیل شده است (۱، ۲). به دلیل مقاومت فلزات سنگین در محیط زیست، تصفیه آنها نگرانی خاصی می باشد. فلزات سنگین برخلاف آلاینده های آلی، قابل تجزیه بیولوژیکی نبوده، قابلیت حلایت بالایی در محیط های آبی دارند، گرایش به تجمع شدن در ارگانیسم های زنده دارند. از سوی دیگر، بسیاری از یون های فلزات سنگین سمی و سرطانزا می باشند. سرب از سمی ترین فلزات سنگین غیر ضروری موجود در محیط زیست می باشند که از نظر شدت آلایندگی در گروه آلاینده های درجه اول سمی قرار دارند (۳، ۴). میزان یون های سرب از منابع مختلفی همانند فاضلاب ناشی از صنایع آبکاری، باتری های سربی، کودهای فسفاته، معادن، رنگدانه ها، پالایشگاه ها و صنایع کاغذ ناشی می شود. مسمومیت سرب شامل آسیب به کلیه، فیروز ریه و سرطان بوده، ضمن اینکه ساختار استخوان و خون را نیز تغییر می دهد. مقدار استاندارد سرب برای آب آشامیدنی برابر  $1\text{ mg/l}$  گزارش شده است (۵، ۶). به منظور حذف اثرات نامطلوب فلزات مذکور بر انسان و اکولوژی و همچنین رعایت قوانین و استاندارهای دفع فاضلاب های حاوی این آلاینده ها لازم است فاضلاب حاوی این فلزات قبل از تخلیه تصفیه شود. روش های متداول برای حذف سرب از آب شامل تبادل یون، اسمز معکوس، شناورسازی، هم ترسیبی، کواگولاسیون،



اولیه، جنس الکترودها، زمان تصفیه، فاصله بین الکترودها و میزان اختلاط بر کارایی حذف مورد مطالعه قرار گرفته تا شرایط بهینه بهره برداری تعیین شود.

### روش بورسی

سلول الکتروکواگولاسیون از جنس پلاکسی گلاس با ابعاد  $12\text{cm} \times 10\text{ cm} \times 10\text{ cm}$  ساخته شد. حجم مؤثر راکتور  $1\text{L}$  برآورد شد. شمایی از این سلول در شکل ۱ نشان داده شده است. در هر آزمایش کل حجم فاضلاب الیتر بود. میله های آهنی و فولاد ضدزنگ با ابعاد  $50\text{mm} \times 5\text{mm}$  قطر به تعداد  $30$  عدد مورد استفاده قرار گرفتند. الکترودها با فاصله  $2\text{cm}$  از کف راکتور قرار گرفته بودند. اتصال الکترودها به یکدیگر به صورت سری و به منبع تغذیه به صورت تک قطبی (اتصال فقط دو الکترود بیرونی به قطب های مثبت و منفی و اتصال الکترودهای میانی به هم) بود. جریان متناوب و مستقیم توسط یک منع تغذیه مدل (GW GPC-3060D) با محدوده دانسیته جریان  $2\text{mA/cm}^2$  و  $8, 6, 4, 2$  میلی آمپر است. در این مطالعه از پساب صنعت باتری سازی واقع در شهر ک صنعتی شهر کرمان برداشته شد که برخی از پارامترهای آن نظیر pH، هدایت الکتریکی، سرب در جدول ۱ ذکر شده است. لازم به ذکر می باشد که قبل از اینکه پساب برای آزمایش مورد مطالعه قرار گیرد، جامدات معلق آن با استفاده از یک فیلتر حذف شد.

نمونه های برداشته شده، در کمتر از  $6$  ساعت به آزمایشگاه منتقل شد.

آند کاتیون های فلزی تولید می کند، در حالی که اکسیداسیون کاتد معمولاً هیدروژن تولید می کند(۱۶). لازم به ذکر است، استفاده از  $\text{Fe}^{3+}$  به عنوان عامل لخته ساز در تصفیه آب مزایای قابل ملاحظه ای دارد، چرا که این فلز در مقایسه با یون های  $\text{Al}^{3+}$  که برخی اثرات سمی (بیماری آنژایمر) از خود نشان داده اند بی ضرر می باشد(۱۷-۱۹). فرایند الکتروشیمیایی شامل بسیاری از پدیده های شیمیایی و فیزیکی از قبیل تخلیه، اکسیداسیون آندی، احیای کاتدی، کواگولاسیون، مهاجرت الکتروفورزی و جذب سطحی می باشد. همچنین طی فرایند الکتروکواگولاسیون در مقایسه با ترسیب شیمیایی، مایع با آنیون ها غنی نشده و محتوای نمک های آن افزایش نمی یابد. این پدیده به تولید لجن های فلزی که با استفاده از الکتروکواگولاسیون در مقایسه با ترسیب شیمیایی متراکم هستند نسبت داده می شود. الکتروکواگولاسیون، علاوه بر اینکه به تجهیزات ساده نیاز دارد، مزایایی از جمله کارایی حذف بالا، زمان ماند کم، تأسیسات تصفیه فشرده شده، هزینه نسبتاً پایین و بهره برداری ساده دارا می باشد. این ویژگی ها به کاهش هزینه های بهره برداری برای کاربردهای صنعتی نسبت داده می شود(۲۱)، (۲۰). الکتروکواگولاسیون به طور موقتی آمیزی برای تصفیه فاضلاب های صنایعی نظیر فاضلاب آبکاری، نساجی، کارخانه روغن زیتون، رختشوی خانه، دباغی، صنعت کاغذ و پالپ، مخصوصاً و کشتارگاه به کار رفته است(۲۲-۲۵). در این مطالعه کارایی الکتروکواگولاسیون با جریان متناوب و مستقیم با استفاده از آلیاژ آهن و فولاد ضدزنگ در حذف سرب مورد بررسی قرار گرفته است. اثر دانسیته جریان، میزان انرژی مصرفی، pH



۳۰، ۲۰ و ۴۰ به میزان ۲۵ml از میانه راکتور نمونه برداشت

می شد. سپس نمونه های برداشته شده از صافی با اندازه  $0.45 \mu\text{m}$

عبور داده می شوند تا لخته های تشکیل شده حذف گردد.

نمونه های صاف شده در دمای ۴ درجه سانتی گراد نگهداری و در

پایان با استفاده از دستگاه جذب اتمی مطابق با روش های مندرج

در کتاب روش های استاندارد برای آزمایش آب و فاضلاب به

شماره ۳۱۱۱B از نظر غلظت باقیمانده یون سرب تعیین مقدار

می شدند. در انتهای هر آزمایش مقدار لجن تولیدی و pH محلول

باقیمانده نیز اندازه گیری شد. انرژی الکتریکی مصرفی یک پارامتر

بسیار مهم اقتصادی در فرایند الکتروکواگلولاسیون می باشد. این

پارامتر با استفاده از معادله زیر محاسبه شد:

$$E = \frac{U \cdot I \cdot t}{V}$$

$E$  = انرژی الکتریکی مصرفی بر حسب (U، kwh/m<sup>3</sup>) و  $I$  = ولتاژ به

کار رفته بر حسب (V)،  $I = A$  = دانسیته جریان بر حسب (A)،  $t$  = زمان

الکتروکواگلولاسیون بر حسب (h)،  $V = L$  = حجم نمونه بر حسب (L).

میزان مصرف الکترود قربانی نیز از طریق تعیین وزن ابتدایی و

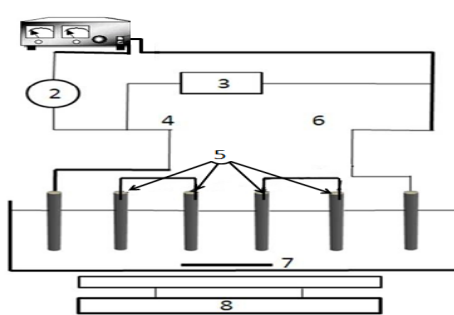
انتهایی الکترودها انجام پذیرفت.

جدول ۱: مشخصات اولیه فاضلاب صنعت با تری سازی واقع در شهرک

صنعتی کرمان

مشخصات فاضلاب	مقدار
سرب (۲ <sup>+</sup> )	۹mg/l
هدایت الکتریکی	۴/۵ms/cm
pH	۲/۸
آهن	۲/۳mg/l
سولفات	۵mg/l

نمونه ها از نظر میزان سرب توسط دستگاه جذب اتمی مدل (UNICAM929)، هدایت الکتریکی توسط یک هدایت سنج مدل (Model4071) و pH توسط یک pH متر مدل (InoLabWTW)، آهن و سولفات توسط اسپکتروفوتومتر مدل (AL800) تعیین مقدار شد. در مرحله اول pH بهینه حذف سرب تعیین شد و به منظور تنظیم pH در محدوده بهینه، از هیدروکسید سدیم و اسید سولفوریک N/۱۰ استفاده شد. فاضلاب داخل راکتور توسط یک همزن مغناطیسی مخلوط می گردید. الکترودها پس از هر بار آزمایش توسط یک بورس سنباده و با کلرید هیدروژن رقیق شسته شده و پس از آبکشی با آب مقطر به طور دقیق توزین می شدند. برای اطلاع از پیشرفت تصفیه، در فواصل زمانی ۱، ۱۰min



۱. منبع تامین جریان برق
۲. آمپر متر دیجیتال
۳. ولت متر دیجیتال
۴. میله آند
۵. آند های قربانی
۶. میله کاتد
۷. آهن ریای مغناطیسی
۸. همزن برقی

شکل ۱: شماتیک از راکتور طراحی شده



## یافته ها

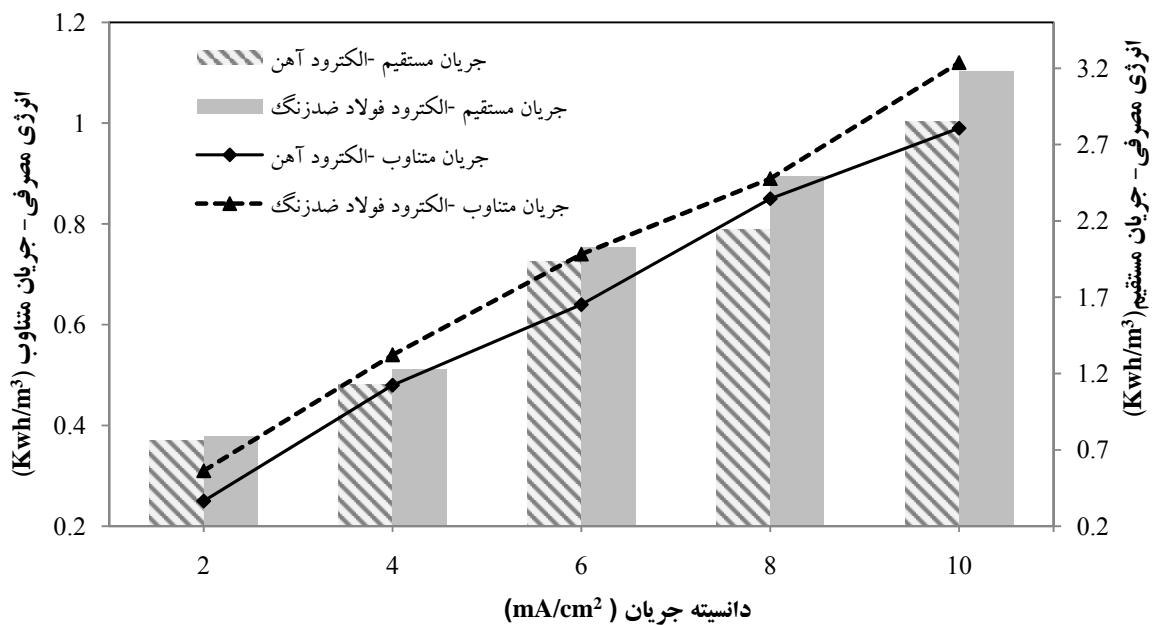
حذف بهینه سرب با الکترود آهن برابر با  $97/2\%$  در دانسیته جریان بهینه  $6mA/cm^2$  و با الکترود فولاد ضدزنگ برابر با  $93/2\%$  در دانسیته جریان بهینه  $8mA/cm^2$  و زمان  $40min$  حاصل شد. در نمودار ۱ میزان انرژی مصرفی با هر دو جریان متناوب و مستقیم و با الکترودهای آهن و فولاد ضدزنگ نشان داده شده است.

با جریان متناوب بیشترین انرژی مصرفی با کاربرد الکترود آهن در دانسیته بهینه حذف سرب  $69kwh/m^3$  و با الکترود فولاد ضد زنگ  $89kwh/m^3$  بود. در جریان مستقیم بالاترین میزان انرژی مصرفی با الکترود آهن در دانسیته بهینه حذف سرب برابر با  $1/93 kwh/m^3$  بوده و با فولاد ضدزنگ برابر با  $2/49 kwh/m^3$  می باشد.

نتایج حاصل از این مطالعه در نمودارهای ۱-۵ و جدول ۲ نشان داده شده است. مناسب pH برای حذف سرب برابر ۵ با راندمان حدود  $98/4$  درصد بدست آمد. در جدول ۲ راندمان حذف سرب با الکترود آهن و فولاد ضدزنگ با کاربرد جریان متناوب و مستقیم نشان داده شده است. همان طور که این جدول برای جریان متناوب نشان داده است دانسیته جریان بهینه در حذف سرب با الکترود آهن  $6mA/cm^2$  در مدت زمان واکنش  $30$  دقیقه حاصل شد برابر با  $96/7\%$  بود و با الکترود فولاد ضدزنگ در دانسیته جریان بهینه  $8mA/cm^2$  و زمان واکنش  $40min$  برابر با  $93/8\%$  بدست آمد. همچنین در جدول ۲ با کاربرد جریان مستقیم راندمان

جدول ۲: راندمان حذف سرب با کاربرد الکترود آهن و فولاد ضدزنگ نزن در جریان متناوب و مستقیم بر حسب دانسیته جریان و زمان های مختلف

الکترود	زمان	دانسیته جریان (دقیقه)	مختلف						الکترود	زمان	دانسیته جریان (دقیقه)			
			۱۰	۸	۶	۴	۲	تماس (دقیقه)						
۸۵/۴	۸۱/۸	۷۷/۵	۷۲/۶	۶۵/۹		۱۰			۸۶/۴	۸۳/۸	۷۹/۴	۷۴/۵	۶۷/۶	۱۰
۹۶/۶	۹۳/۷	۸۹/۳	۸۴/۲	۷۶/۷		۲۰			۹۶/۷	۹۵/۶	۹۰/۲	۸۵/۳	۷۸/۵	۲۰
۹۷/۲	۹۶/۳	۹۵/۲	۸۷/۸	۸۷/۱		۳۰			۹۸	۹۷/۴	۹۶/۷	۸۹/۷	۸۷/۴	۳۰
۹۸	۹۷/۵	۹۷/۲	۹۱/۴	۸۸/۹		۴۰			۹۸/۴	۹۸/۲	۹۷/۴	۹۲/۲	۸۹/۷	۴۰
۷۳/۴	۷۰/۳	۶۶/۴	۶۰/۷	۵۴/۸		۱۰			۷۵/۴	۷۱/۶	۶۸/۷	۶۲/۶	۵۶/۴	۱۰
۸۸/۶	۸۲/۶	۷۷/۸	۷۵/۲	۶۳/۵		۲۰			۸۹/۳	۸۳/۷	۷۹/۲	۷۵/۴	۶۴/۷	۲۰
۹۱/۳	۹۱/۱	۸۷/۴	۸۳/۴	۷۵/۸		۳۰			۹۲/۶	۹۱/۴	۸۸/۳	۸۴/۷	۷۷/۳	۳۰
۹۴/۸	۹۳/۲	۹۰/۸	۸۷/۹	۸۴/۲		۴۰			۹۵/۳	۹۳/۸	۹۱/۴	۸۹/۲	۸۴/۶	۴۰

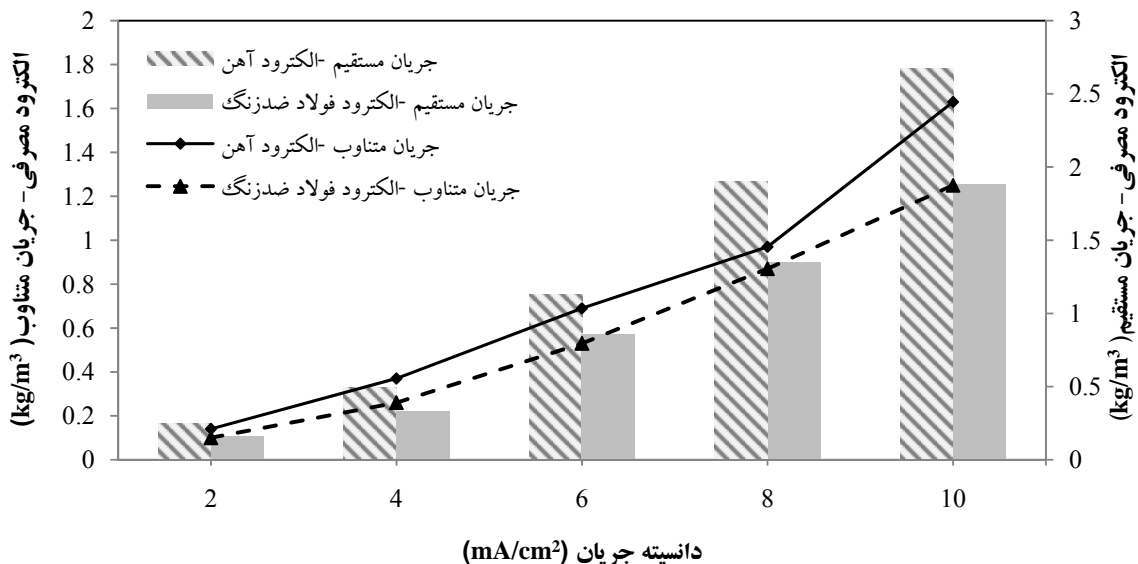


نمودار ۱: میزان انرژی مصرفی در حذف سرب با کاربرد جریان متناوب و مستقیم

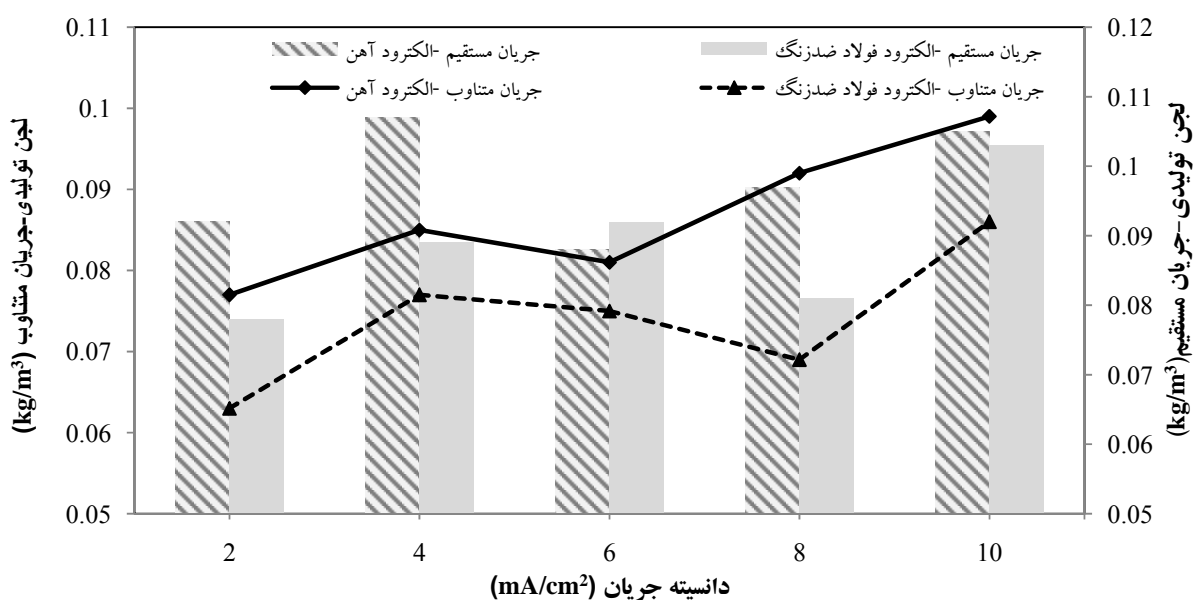
ترتیب مقادیر  $0.081 \text{ kg/m}^3$  بود. اثر فاصله بین الکترودها در راندمان حذف سرب مطالعه و اثر آن در نمودار ۴ نشان داده شده است. در جریان متناوب و مستقیم بالاترین راندمان حذف در فاصله  $1\text{cm}$  الکترودها حاصل شد.

میزان تغییرات pH بعد از اتمام هر مرحله از آزمایش را نشان می دهد. بیشترین تغییر در pH در جریان متناوب با کاربرد الکترود آهن در دانسیته جریان بهینه حذف سرب به ترتیب  $1/44$  و با الکترود فولاد ضدزنگ  $1/62$  بوده است. در جریان مستقیم بیشترین تغییرات pH با کاربرد الکترود آهن در حذف سرب در دانسیته جریان بهینه به ترتیب  $1/89$  و با کاربرد الکترود فولاد ضدزنگ  $1/38$  بود (نمودار ۵).

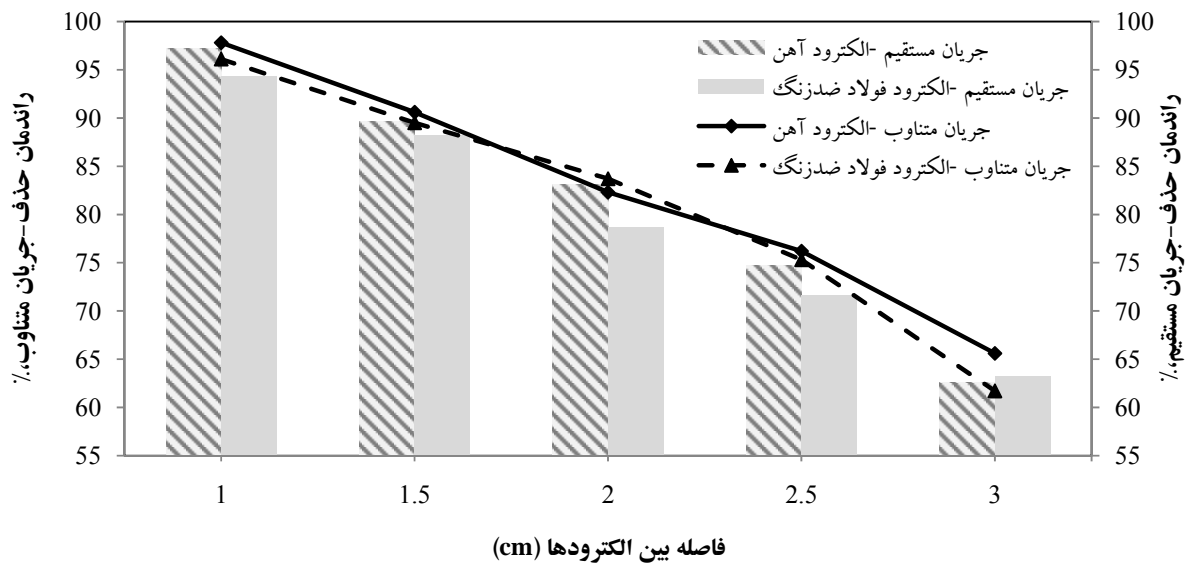
همچنین میزان الکترود مصرفی در جریان متناوب با کاربرد الکترود آهن در دانسیته بهینه حذف سرب برابر با  $0.069 \text{ kg/m}^3$  و با الکترود فولاد ضدزنگ  $0.087 \text{ kg/m}^3$  بوده و در جریان مستقیم با الکترود آهن در دانسیته جریان بهینه در حذف سرب  $0.081 \text{ kg/m}^3$  و با الکترود فولاد ضدزنگ  $0.035 \text{ kg/m}^3$  بود (نمودار ۲). میزان لجن تولیدی از این فرایند در نمودار ۳ نشان داده شده است. همانطور که مشاهده می شود در جریان متناوب با کاربرد الکترود آهن برای حذف سرب در دانسیته جریان بهینه لجن تولیدی برابر با  $0.081 \text{ kg/m}^3$  و با الکترود فولاد  $0.069 \text{ kg/m}^3$  بود. در جریان مستقیم با الکترود آهن لجن تولیدی در دانسیته جریان بهینه حذف سرب  $0.088 \text{ kg/m}^3$  بود و با الکترود فولاد به



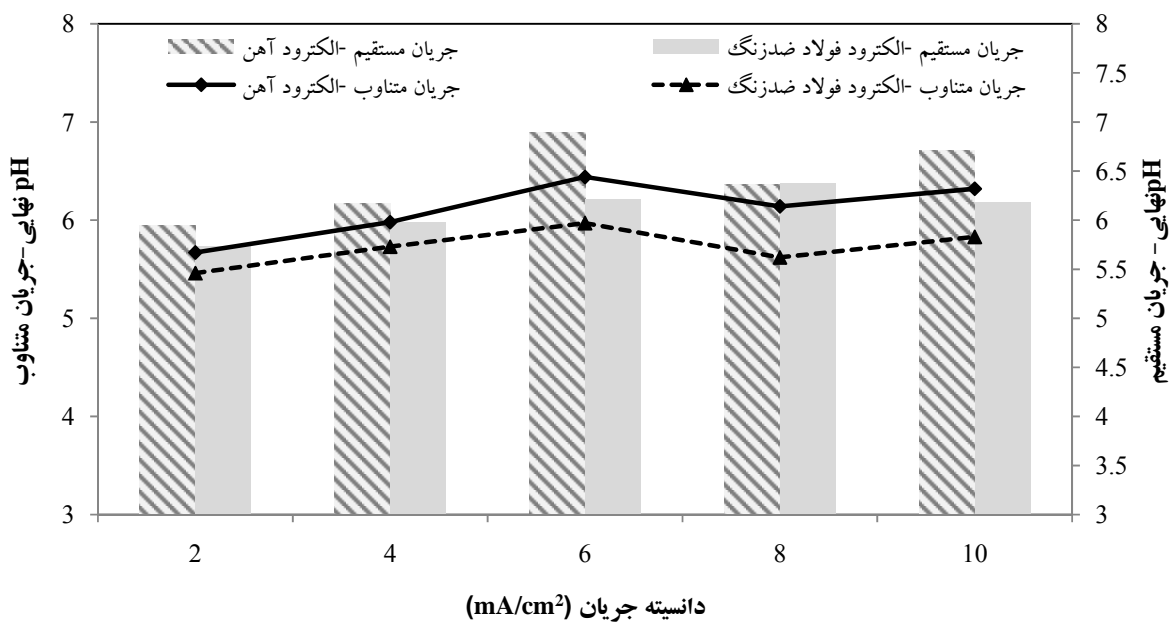
نمودار ۲: میزان الکترود مصرفی در حذف سرب با کاربرد جریان متناوب و مستقیم



نمودار ۳: میزان لجن تولیدی با الکترود آهن و فولاد ضدزنگ در جریان متناوب و مستقیم



نمودار ۴: راندمان حذف سرب با جریان متناوب و مستقیم در فاصله های مختلف بین الکترودها



نمودار ۵: میزان تغییرات pH اولیه در حذف سرب با کاربرد جریان متناوب و مستقیم



## بحث و نتیجه گیری

$C = \frac{I \cdot t}{M}$  = غلظت آهن در سلول الکتروولیتیک بر حسب (kg/m<sup>3</sup>)  
 دانسیته جریان بر حسب (A)،  $t$  = زمان الکتروکواگولاسیون بر حسب (s)،  $M$  = وزن مولکولی آند بر حسب (kg/mol)، برای آهن  $F = ۰.۰۵۵۸۵$ ،  $Z = ۲$ ،  $M_{\text{آهن}} = ۶۴.۷$  میزان ثابت فارادی (mol/C) و  $V = ۹۶۴۸۵$  حجم نمونه بر حسب (m<sup>3</sup>).

همانگونه که انتظار می رفت مقدار جذب سطحی سرب با افزایش غلظت جاذب افزایش می یابد که خود به طور مستقیم به دانسیته جریان و زمان واکنش بستگی دارد. این امر، بیانگر وابستگی زیاد جذب سطحی به قابلیت دسترسی محل های پیوند برای سرب فولاد بوده است که این امر عمدتاً به علت تشکیل سریعتر سولفات و هیدروکسیدهای فریک از آهن معمولی به دلیل مقاومت کمتر آن در برابر خوردگی نسبت به فولاد ضدزنگ می باشد(۳۲). با افزایش دانسیته جریان، مقدار سرب بیشتر کاهش می یابد. این امر عمدتاً به دلیل این است که افزایش دانسیته جریان منجر به تولید حباب های بزرگتر اکسیژن توسط آند شده که خود باعث جریان روبه بالای بیشتر و حذف سریعتر سرب از طریق شناورسازی می شود. با این حال تأثیر اصلی افزایش جریان، تشدید میزان تجزیه آند بوده که منجر به افزایش غلظت یون های فلزی در محلول و متعاقباً بهبود حذف املال سرب می شود(۱۸). نتایج تحقیقات حاضر نشان می دهد، افزایش دانسیته جریان، زمان لازم برای حذف سرب را کاهش می دهد. این نتایج مطابق با نتایج حاصل از مطالعه زیرزمینی از طریق الکتروکواگولاسیون، Erdem Yilmaz و همکاران در جداسازی برون از آبهای گرم

در مطالعه حاضر اثرات پارامترهایی از جمله دانسیته جریان، pH، زمان واکنش، میزان انرژی و الکترد مصرف شده، نوع الکترود، آرایش الکترودها و فاصله بین الکترودها بر کارایی فرایند الکتروکواگولاسیون در حذف فلزات سنگین سرب و مقدار لجن تولیدی از این فرایند مورد بررسی قرار گرفت.

در تمام فرایندهای الکتروشیمیایی، دانسیته جریان مهمترین پارامتر جهت کنترل میزان واکنش در داخل راکتور الکتروشیمیایی است. به خوبی مشخص شده است که دانسیته جریان میزان تولید کواگلانت، میزان تولید حباب، اندازه و توزیع آن و میزان رشد فلوک ها در راکتور الکتروکواگولاسیون با الکترودهای مختلف را تعیین می کند(۲۶، ۲۷). اثر دانسیته جریان بر کارایی حذف سرب از فاضلاب صنعت باتری سازی با دو نوع جریان متناوب و مستقیم و دو نوع الکترود آهنی و فولاد ضدزنگ مورد بررسی قرار گرفت. نتایج نشان داد که جریان متناوب و الکترود آهنی به مراتب مؤثرتر از جریان مستقیم و الکترود فولاد ضدزنگ می باشد که ممکن است به علت تجزیه یکنواخت آند و کاتد در حالت جریان متناوب در مدت الکتروکواگولاسیون باشد. کارایی حذف حاصل شده نشان می دهد با افزایش دانسیته جریان، حذف سرب نیز افزایش می یابد. این امر به افزایش مقدار جاذب (یون های هیدروکسید آهن) تولیدی در محل نسبت داده شده که منجر به حذف سریع سرب می شود. مقدار جاذب نیز از طریق قانون فارادی تعیین می شود(۲۸، ۲۹):

$$C = \frac{I \cdot t \cdot M}{Z \cdot F \cdot V}$$



مطابقت دارد(۴۰-۳۸). مقدار pH محلول طی الکترولیز افزایش می یابد. با این حال در الکترولیت به شدت اسیدی، قلیائیت تولیدی pH در مدت الکترولیز برای افزایش pH محلول کافی نیست(۴۱). pH نمونه ها نیز در انتهای فرایند اندازه گیری و میزان تغییرات آن در نمودار ۶ نشان داده شده است. بیشترین تغییر در pH در جریان متناوب با کاربرد الکترود آهن در دانسیته جریان بهینه حذف سرب ۱/۴۴ و با الکترود فولاد ضدزنگ ۱/۶۲ می باشد. در جریان مستقیم بیشترین تغییرات pH با کاربرد الکترود آهن در حذف سرب در دانسیته جریان بهینه از ۵ به ۶/۸۹ و با الکترود فولاد ضدزنگ از ۵ به ۶/۳۸ بود.

در فرایندهای الکتروکواگولاسیون، زمان الکترولیز بر میزان کارایی تصفیه تأثیر می گذارد. آزمایشات الکتروکواگولاسیون طی ۴۰ دقیقه در دانسیته جریان و pH های مختلف به انجام رسید. جدول ۱ ارتباط میان زمان واکنش و کارایی حذف سرب را در دانسیته های جریان مختلف نشان می دهد. با افزایش زمان واکنش، کارایی حذف افزایش یافته است. این امر، ناشی از این واقعیت است، که کارایی فرایند به طور مستقیم به غلظت هیدروکسید و یون های فلزی تولیدی توسط الکترودها بستگی داشته و با افزایش زمان، غلظت یون ها و لخته های هیدروکسید افزایش می یابد(۴۲). زمان واکنش، میزان تولید یون های  $\text{Fe}^{3+}$  ناشی از الکترودهای آهن و فولاد ضدزنگ را تعیین می کند. در مدت الکترولیز، الکترود مثبت دستخوش واکنش های آندی قرار می گیرد. یون های رها شده بار ذرات آلاینده را خنثی کرده و بدین وسیله انعقاد شروع می شود. وقتی زمان الکترولیز

حذف آهن ۲ از آب شیر با استفاده از تکنیک الکتروکواگولاسیون و Merzouk و همکاران در حذف کدورت و جداسازی فلزات سنگین با استفاده از تکنیک الکتروکواگولاسیون و فلوتاسیون مشابه می باشد(۳۴، ۳۳، ۲۷).

در فرایندهای جداسازی شیمیایی یا الکتروشیمیایی، pH یک پارامتر مهم می باشد و بر تشکیل گونه های هیدروکسید فلزی و مکانیسم حذف یون ها و آلاینده ها تأثیر معنی داری دارد(۳۵، ۲۱). تأثیر pH در جریان متناوب و مستقیم با کاربرد الکترود آهن و فولاد ضدزنگ در حذف سرب از فاضلاب مورد بررسی قرار گرفت و مطابق با نتایج بدست آمده کارایی حذف سرب در pH ۵ به حداقل رسید. معمولاً pH در مدت عملکرد فرایند الکتروکواگولاسیون (EC) تغییر می کند و این تغییر به نوع الکترود به کار رفته و pH اولیه بستگی دارد. افزایش pH در این فرایند به تشکیل گاز  $\text{H}_2$  در الکترود کاتد و تجمع یون های هیدروکسید در محلول نسبت داده می شود. بنابراین فرایند الکتروکواگولاسیون می تواند به عنوان تنظیم کننده pH عمل نماید. به عبارتی دیگر فرایند EC از خود ظرفیت بافری نشان می دهد زیرا بین تولید و مصرف  $\text{OH}^-$  تعادل برقرار می کند. این امر از تغییر زیاد pH جلوگیری می کند(۳۶). یافته ها با نتایج مطالعه انجام شده توسط Escobar و همکاران در بهینه سازی فرایند الکتروکواگولاسیون برای حذف مس، سرب و کادمیوم از آب های طبیعی و فاضلاب سنتیکو Canizares و همکاران در مطالعه تأثیر pH به عنوان یک پارامتر مهم در انتخاب کواگولاسیون و الکتروکواگولاسیون برای تصفیه فاضلاب



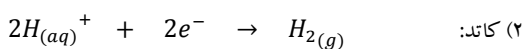
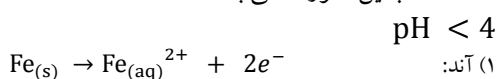
ارزیابی قرار گیرد. در این مطالعه برای کارایی حذف معقول و مصرف نسبتاً پایین انرژی، در هر دو جریان متناوب و مستقیم با الکترود آهن دانسیته جریان  $6\text{mA/cm}^2$  و با الکترود فولاد ضدزنگ دانسیته جریان  $8\text{mA/cm}^2$  به عنوان یک مقدار بهینه بدست آمد (۴۴، ۲۳). مصرف انرژی با کاربرد الکترودهای آهنی کمتر از الکترودهای فولاد ضدزنگ است که احتمالاً ناشی از ولتاژ زیاد مورد نیاز برای رسیدن به دانسیته جریان بهینه در مدل آرایش سری می‌باشد. دانسیته جریان بالا همچنین باعث کاهش بیشتر وزن الکترود و افزایش مقدار الکترود رها شده به محلول می‌شود (۳۳، ۲۶). مقدار الکترود مصرف شده در دانسیته‌های جریان مختلف در نمودار ۲ نشان داده شده است. مقدار الکترود مصرف شده آهن در دانسیته جریان بهینه حذف سرب با کاربرد جریان متناوب به ترتیب برابر با  $69\text{kg/m}^3$  و مقدار الکترود مصرف شده فولاد ضدزنگ برابر با  $87\text{kg/m}^3$  بود. با به کارگیری جریان مستقیم مصرف الکترود آهن در دانسیته جریان بهینه حذف سرب برابر با  $1/13\text{ kg/m}^3$  بود که مصرف الکترود فولاد ضدزنگ نیز برابر با  $1/35\text{ kg/m}^3$  بود. Zayed و همکاران در با نتایج حاصل شده از مطالعه تصفیه الکتروکواگلولاسیون مایع سیاه ناشی از صنعت کاغذسازی، AyhanSengil و همکاران در تصفیه فاضلاب دباغی از طریق الکتروکواگلولاسیون و LungChou و همکاران در حذف الکتروشیمیابی یون‌های ایندیوم از محلول‌های آبی با استفاده از الکترود آهن مطابقت دارد (۴۵، ۴۴، ۲۳). قسمت الکترود سلول الکتروشیمیابی قلب راکتور است بنابراین انتخاب جنس مناسب آن بسیار مهم است. معمولی ترین جنس الکترود برای

افزایش می‌باید غاظت یون‌ها و لخته‌های هیدروکسیدشان نیز افزایش می‌باید. همچنین در جریان‌های بالا جباب‌های بیشتری تولید شده که باعث بهبود میزان اختلاط هیدروکسیدهای فلزی و آلاندنه‌ها در نهایت بهبود قابلیت شناورسازی و افزایش کارایی حذف می‌شود (۴۳، ۴۶). در این مطالعه زمان بهینه برای حذف سرب در جریان متناوب با الکترود آهن و فولاد به ترتیب  $30\text{ min}$  بود و در جریان مستقیم با هر دو الکترود آهن و فولاد ضدزنگ  $40\text{ min}$  بود. یافته‌ها با نتایج حاصل از مطالعه Drouiche و همکاران در بررسی تصفیه فاضلاب فتوولتانیک با استفاده از الکتروکواگلولاسیون و حذف فلوراید با الکترودهای آلومینیومی و Mouedhen و همکاران در بررسی رفتار الکترودهای آلومینیومی در فرایند الکتروکواگلولاسیون مطابقت دارد (۴۱، ۱۶).

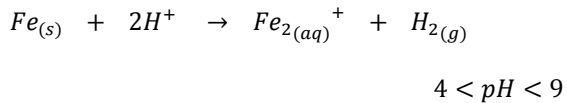
میزان انرژی مصرفی، یک پارامتر بسیار مهم اقتصادی در فرایند الکتروکواگلولاسیون می‌باشد. عمدۀ هزینه بهره برداری فرایند الکتروکواگلولاسیون نیز در ارتباط با مصرف انرژی الکتریکی می‌باشد. با افزایش دانسیته جریان از ۲ به ۶، مصرف انرژی در جریان متناوب مستقیم با الکترود آهنی و فولاد ضدزنگ به طور جزئی افزایش پیدا کرد. افزایش دانسیته جریان از ۶ به ۱۰ با جریان متناوب مصرف انرژی به طور جزئی و با جریان مستقیم به طور معنی داری افزایش پیدا کرد. نتایج نشان می‌دهد، که افزایش دانسیته جریان باعث افزایش مصرف انرژی به دلیل پلاریزاسیون و افزایش تشکیل تعداد ترکیبات آهن و فولاد شده که به همان اندازه کارایی حذف سرب را بهبود می‌بخشد. بنابراین برای رسیدن به دانسیته جریان بهینه باستی هم درصد حذف و هم مصرف انرژی الکتریکی مورد



دامنه وسیع pH ترکیب، به شدت نامحلول  $\text{Fe(OH)}_2$  است. این نتایج با مطالعات قبلی در مورد تشکیل اکثربیت ترکیبات آهن در pH ۵-۹ مطابقت دارد. غلظت آهن در آب یک نقش مهم در حذف آلاینده‌ها بازی می‌کند. غلظت و pH گونه‌های شیمیایی مختلف احتمالی، آهن را در محلول آبی تعیین می‌کنند (۴۷). اثر هیدروژن رها شده در کاتد، تسهیل پیشرفت تجمع فلوک‌ها در سطح محلول به شکل گل ضخیم مایل به سفید می‌باشد. یکی از مکانیسم‌هایی که در رابطه با تولید هیدروکسیدهای آهن پیشنهاد شده است بدین صورت می‌باشد (۴۶):

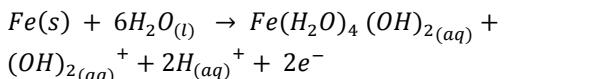


(۳) در مجموع:

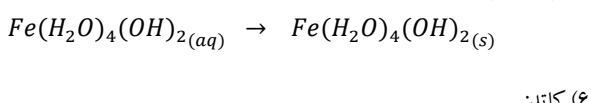


۴ < pH < 9

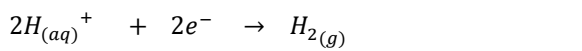
(۴) آند:



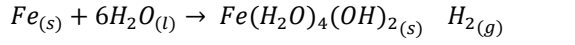
(۵) توده محلول:



(۶) کاتد:



(۷) در مجموع:

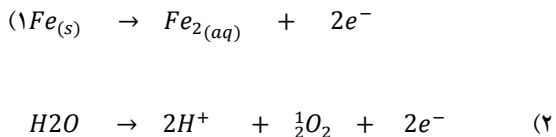


در هر فرایند الکتروشیمیایی، جنس‌های مختلف الکترود و نوع جفت الکترود به عنوان فاکتورهای تأثیرگذار بر عملکرد فرایند تلقی

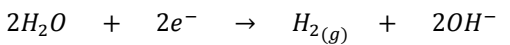
الکتروکواگلولاسیون آهن، آلومینیوم و فولاد ضدزنگ است، که ارزان بوده و به آسانی قابل دسترس هستند. بنابراین در این مطالعه دو الکترود آهن و فولاد ضدزنگ در شرایط آزمایشگاهی یکسان آزمایش شدند. واضح است، هر دو الکترود به کار رفته، عملکرد تقریباً مشابه در کاهش سرب دارند. با افزایش زمان میزان حذف با الکترود آهن به طور جزئی نسبت به الکترود فولاد ضدزنگ افزایش یافته است. نمونه آب تصفیه شده با الکترود آهن و فولاد ضدزنگ ابتدا سبز رنگ و سپس زرد و کدر شد. رنگ‌های سبز و زرد می‌توانند ناشی از گونه‌های آهن دو و سه تولید شده در مدت الکترولیز باشد که به طور معلن در محلول باقی مانده و همچنین می‌توانند یون‌های سرب را از طریق مرکب سازی یا جذب الکتروستاتیک به دنبال انعقاد حذف کند. مطالعات مشابهی توسط Chen و همکاران در مورد حذف روغن گریس از فاضلاب رستوران توسط الکتروکواگلولاسیون و Zaied و همکاران در تصفیه الکتروکواگلولاسیون آب سیاه ناشی از صنعت کاغذسازی انجام شده است. آنها این تغییر رنگ را بدین صورت شرح دادند که تغییر رنگ، ناشی از اکسید شدن تدریجی یون‌های آهن ۲<sup>+</sup> تولید شده از طریق تجزیه الکتریکی آند در حضور اکسیژن محلول می‌باشد (۴۵، ۴۶). لازم به ذکر است، الکترود آهن و فولاد ضدزنگ در شرایط قیلیایی از نظر pH بهترین کارایی را داشتند. از سوی دیگر از نظر میزان مصرف انرژی الکتریکی و الکترود قربانی که بر میزان هزینه فرایند تأثیر می‌گذارد الکترود آهن کارآمدتر از الکترود فولاد ضدزنگ بود (۱۲). ترکیبات هیدروکسید آهن بعد از اکسیداسیون اولیه در آند تشکیل شده و غالب ترین گونه آن در



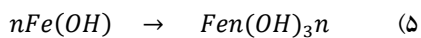
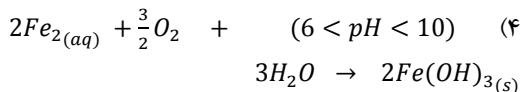
مطمئن ممکن است در عمل برای کاربرد خاص، کارامدتر یا اقتصادی تر باشد. برخلاف این، El-Naas و همکاران در تصفیه فاضلاب پالایشگاه عملکرد بهتری برای آلومینیوم در مقایسه با آهن به عنوان الکترود در فرایند EC مشاهده کردند (۳۲). بنابراین آرایش و جنس بهتر آند به شدت بستگی به نوع آلاینده و شرایط بهره برداری دارد. در سلول الکتروکواگلولاسیون با آراستن الکترود بهتر واکنش به صورت زیر اتفاق می‌افتد (۴۹):



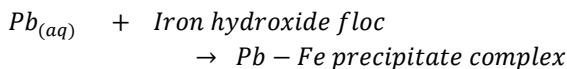
واکنش کاتدی:  
(۳)



واکنش های توده مایع:

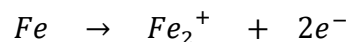


حذف سرب:



بنابراین مکانیسم اصلی در حذف سرب از فاضلاب توسط فرایند الکتروکواگلولاسیون ممکن است شامل اکسیداسیون آهن به یون های فروس و الکترولیز همزمان آب در سطح آند باشد که منجر به تولید اکسیژن می‌شود، اکسیداسیون یون های فروس به فریک از

می‌شوند، از این رو انتخاب جفت الکترود مناسب مهم است. در این مطالعه برای تعیین جفت الکترود بهینه میله‌های آهن و فولاد ضدزنگ در دو ترکیب مختلف آهن-آهن و فولاد-فولاد در شرایط یکسان مورد بررسی قرار گرفتند. نتایج این مطالعه نشان دادند که جفت الکترود آهن-آهن کارایی بالاتری در حذف سرب دارد. در جریان متناوب برای سرب به میزان ۹۶/۷٪ در دانسیته جریان بهینه  $6\text{mA/cm}^2$  و زمان واکنش بهینه  $30\text{ min}$  بود و در جریان مستقیم برای سرب برابر  $97/2\%$  در دانسیته جریان بهینه  $6\text{mA/cm}^2$  و زمان واکنش بهینه  $40\text{ min}$  حاصل شد. این راندان بالا برای جفت الکترود آهن-آهن به واکنش شیمیایی که در آند اتفاق می‌افتد نسبت داده می‌شود:



در مرحله آغازی یون‌های آهن کواگلانت‌های بسیار کارامدی برای لخته شدن ذرات هستند. از واکنش بالا می‌توان جرم معادل الکتروشیمیایی را برای  $Fe$  محاسبه کرد. بنابراین جرم معادل الکتروشیمیایی برای آهن  $1041\text{mg/Ah}$  است که این باعث می‌شود وقتی بار الکتریکی یکسانی عبور می‌کند کواگلانت‌های بیشتری از نظر تئوری از آندهای آهن تولید شود. این پدیده می‌تواند دلیلی برای کارایی حذف بیشتر الکترودهای آهن باشد (۴۸). کارایی بالاتر آرایش آهن-آهن می‌تواند به گرادیان بیشتر پتانسیل الکترود و در نتیجه پتانسیل اکسیداسیون بیشتر بین آند-کاتد در مقایسه با دیگر آرایش‌ها نسبت داده شود. این پدیده منجر به تولید کواگلانت بیشتر و بهبود درصد حذف آلاینده‌ها می‌شود (۳۲). نتایج حاکی از آن است که یک آرایش الکترود



بر آند می شود. این پدیده باعث ایجاد مقاومت خارجی می شود که با افزایش فاصله بین الکتروودها افزایش می یابد. بنابراین بعد از مدتی جریان بهره برداری کاهش می یابد و برای ثابت نگه داشتن جریان ولتاژ بایستی افزایش یابد. این پدیده منجر به افزایش مقاومت می شود. بنابراین افت اهمیک افزایش یافته که در شروع از اکسیداسیون آندی جلوگیری می کند. با کاهش اکسیداسیون آندی، تعداد کاتیون ها در آند نیز کاهش می یابد. این کاتیون ها مسئول تشکیل کواگولانت هستند. بنابراین با افزایش فاصله بین الکتروودها از  $10\text{ mm}$  تجمع ذرات معلق و به همان میزان جذب سطحی آلانده ها کاهش می یابد. این پدیده ممکن است باعث کارایی حذف پایین در فاصله زیاد بین الکتروودها شود. در حداقل فاصله بین الکتروودها مقاومت کمتر بوده که باعث تسهیل فرایند الکترولیز و بهبود حذف سربی شود(۳۳).

فرایند الکتروکواگولاسیون یک روش تصفیه الکتروشیمیایی است که از طریق تحرک یون ها با کاربرد الکتریسیته تحقق می یابد. در مدت این فرایند یک محیط پایدار محلول برای تحرک یون ها بسیار کارامد خواهد بود. اختلاط محیط باعث آشفتگی تحرک یون و مصرف بیهوده مقداری الکتریسیته خواهد شد(۵۰). سرعت های اختلاط بالا نیز یون ها را در جهت الکتروودها قرار داده که منجر به تشکیل محصولات بیشتر و جداسازی نامناسب رسوب نمک های آن می شود. بنابراین در این مطالعه برای رسیدن به رسوب نسبتاً چسبنده اما قابل حذف،  $200\text{ rpm}$  به عنوان سرعت اختلاط بهینه انتخاب شد. درصد حذف سرب با افزایش سرعت اختلاط تا  $200\text{ rpm}$  به طور معنی داری افزایش می یابد که به دلیل

طریق واکنش با مولکول های اکسیژن و تشکیل هیدروکسید، پلی هیدروکسید، پلی هیدروکسی اکسید آهن رسوب شونده، میباشد(۴۸، ۴۹).

تأثیر فاصله بین الکتروودها با هدف حذف بهتر آلانده ها مورد بررسی قرار گرفت. با افزایش فاصله بین الکتروودها، جریان الکتریکی کاهش پیدا می کند و برای رسیدن به دانسیته جریان مطمئن ولتاژ بایستی افزایش یابد. در این مطالعه فاصله بین الکتروودها  $10\text{ mm}$  انتخاب شد. این فاصله انتخاب شده کارایی حذف را افزایش می دهد (نمودار ۵). این راندمان بالا احتمالاً به دلیل اثرات الکتروستاتیک وابسته به فاصله بین الکتروودها می باشد. بنابراین با افزایش این فاصله، اثر الکتروستاتیک کمتر شده، حرکت یون های تولیدی آهسته تر شده و فرصت بیشتری برای تجمع و تولید لخته دارند. به عبارت دیگر کاهش راندمان مشاهده شده با افزایش فاصله، ناشی از کاهش غلط موضعی و جاذبه الکتروستاتیک بوده که خود ممکن است باعث جانشین سازی آهسته تر یون های تشکیل شده در مدت الکترولیز و تسهیل لخته سازیشان شود(۴۲). در مطالعات مشابه توسط Nanseu-Njiki و همکاران در حذف چیوه از آب توسط الکتوکواگولاسیون، El-Naas و همکاران در ارزیابی الکتروکواگولاسیون در تصفیه فاضلاب پالایشگاه نفت و Modirshahla و همکاران در حذف نیتروفنل از محلول های آبی توسط الکتروکواگولاسیون رفتار مشابه مشاهده شده بود(۴۶، ۴۲، ۳۲). همچنین در فرایند EC اکسیداسیون آندی با کاربرد ولتاژ برای الکتروودها آغاز شده و گذر زمان، منجر به تشکیل یک فیلم بسیار نازک هیدروکسیدهای فلزی



تولیدی با افزایش کارایی حذف سرب از فاضلاب افزایش می یابد. همانطور که دانسته جریان افزایش می یابد تجزیه آندی به طور مطلوب صورت گرفته و باقیمانده لجن فلزی افزایش یافته و یون های سرب از طریق هم ترسیبی یا جذب سطحی بر لجن فلزی به طور مؤثری حذف می شوند. مقادیر لجن در این فرایند در هر دو جریان متناوب و مستقیم با کاربرد الکترودهای آهن و فولاد ضدزنگ بدست آمد. در جریان متناوب با الکترود آهن، بیشترین لجن در دانسته جریان بهینه در حذف سرب  $0.081\text{ kg/m}^3$  و با الکترود فولاد  $0.069\text{ kg/m}^3$  تولید شد. بیشترین لجن در جریان مستقیم با کاربرد الکترود آهن و فولاد ضدزنگ در دانسته جریان بهینه حذف سرب  $0.088\text{ kg/m}^3$  و  $0.081\text{ kg/m}^3$  تولید شد. به نظر می رسد که پیوند هیدروکسیدهای آهن از نظر شیمیایی یا فیزیکی با آب بیشتر از پیوند هیدروکسیدهای فولاد می باشد (۲۵). در مطالعه حاضر تلاش شد تا قابلیت کاربرد روش الکتروکواگلاسیون در تصفیه فاضلاب با تری سازی مورد بررسی قرار گیرد. تأثیر متغیرهایی از قبیل دانسته جریان، نوع الکترود، آرایش و فاصله بین الکترودها، زمان الکترولیز و pH فاضلاب بر حذف سرب مورد مطالعه قرار گرفت. نتایج نشان داد که EC می تواند به نحو مؤثری یون های فلزی را توسط فلوک های هیدروکسید آهن و فولاد به عنوان جاذب، به میزان بسیار بالایی از فاضلاب کاهش دهد. سرب از طریق ترسیب شیمیایی هیدروکسیدها توسط یون های هیدروکسیل تشکیل شده در کاتد از طریق الکترولیز آب و از طریق هم ترسیبی با هیدروکسیدهای آهن و فولاد ضدزنگ حذف شدند. کارایی حذف با افزایش دانسته جریان به علت افزایش میزان تشکیل فلوک های

تشکیل و اتصال فلوک ها به هم و متعاقب آن ته نشینی آسان تر می باشد. در سرعت اختلاط بیش از  $200\text{ rpm}$  انتقال خارجی جرم بسیار ناچیز می شود یا قابل چشم پوشی است (۴۲، ۳۶). بر خلاف این، در مطالعه Sirajuddin و همکاران در بازیابی الکترولیتیکی نمک های کروم از فاضلاب دباغی سرعت اختلاط  $500\text{ rpm}$  به عنوان مقدار بهینه حاصل شد (۵۱)، در حالیکه در مطالعه Ilhan و همکاران با تصفیه شیرابه توسط الکتروکواگلاسیون با استفاده از الکترودهای آلومینیومی و آهنی سرعت اختلاط  $200\text{ rpm}$  به عنوان مقدار بهینه حاصل شد (۵۰). همچنین با کاربرد الکترودهای میله ای به جای مسطح امکان جای دادن تعداد بیشتری الکترود در فضای راکتور فراهم شد. از طرفی عمل اختلاط در مقایسه با حالتی که الکترودها مسطح و کنار هم باشند بهتر انجام گرفت و به علت تولید مقدار بیشتری لخته هیدروکسید فلزی در زمان معین، زمان لازم برای انجام فرآیند کوتاه شده و مشکلات بهره برداری کاهش می یابد (۵۲، ۱۷).

تولید لجن، یکی دیگر از پارامترهای مهم در توصیف فرایند EC می باشد. مقدار لجن تولیدی در مدت EC، با صنعت تصفیه در ارتباط است. این نکته با مشکل تولید و دفع جامدات زائد از این فرایند مرتبط می باشد. در این فرایند بسیاری از آلاینده ها جدا شده و بر سطح فاضلاب به شکل لجن شناور می شوند. لجن تولیدی از EC متناسب با ویژگی های فاضلاب خام، جامدات قابل ته نشینی و مواد ناپایدار شده از طریق انعقاد و غلظت کواگلانت و همچنین متناسب با دانسته جریان و زمان ماند می باشد (۲۶). مقدار لجن تولیدی در این مطالعه در نمودار ۳ نشان داده شده است. مقدار لجن



در جریان متناوب بدست آمد. همچنین در جریان متناوب میزان لجن کمتری نسبت به جریان مستقیم تولید شد.

### تقدیر و تشکر

نگارندگان این مقاله بر خود لازم می دانند، از معاونت محترم تحقیقات و فناوری دانشگاه علوم پزشکی زاهدان که با تصویب طرح مذکور، راه را برای انجام این تحقیق هموار نمودند تشکر نمایند (شماره طرح: ۹۰-۲۴۵۸).

هیدروکسید آهن و فولاد افزایش می یابد. نتایج نشان داد که در جریان متناوب با الکترود آهن فولاد حذف بهینه سرب در دانسیته جریان  $6\text{mA/cm}^2$  و ۸ حاصل شد که به ترتیب برابر با ۹۶/۷٪، ۹۵/۲٪ بود. در جریان مستقیم حذف بهینه سرب با الکترود آهن برابر با ۹۷/۲٪ و با الکترود فولاد ضدزنگ برابر با ۹۳/۲٪ در دانسیته جریان  $6\text{mA/cm}^2$  حاصل شد. زمان بهینه الکترولیز با الکترود آهن ۳۰ min و با الکترود فولاد ضدزنگ ۴۰ min بود. کمترین هزینه بهره برداری از نظر مصرف انرژی و الکترود نیز

### References

- 1-Afkhami A, Saber-Tehrani M, Bagheri H. Simultaneous removal of heavy-metal ions in wastewater samples using nano-alumina modified with 2,4-dinitrophenylhydrazine. *Journal of Hazardous Materials* 2010; 181(1-3): 836-44.
- 2-Ahluwalia S S, Goyal D. Microbial and plant derived biomass for removal of heavy metals from wastewater. *Bioresouce Technology* 2007; 98(12): 2243-57.
- 3-Acharya J, Sahu JN, Mohanty CR, et al. Removal of lead(II) from wastewater by activated carbon developed from Tamarind wood by chloride activation. *Chemical Engineering Journal* 2009; 149(1-3): 249-62.
- 4-Borbély G, Nagy E. Removal and nickel ions by complexation-membrane filtration process from industrial wastewater. *Desalination journal* 2009; 240(1-3): 218-26.
- 5-Kaczala F, Marques M, Hogland W. Lead and vanadium removal from a real industrial wastewater by gravitational settling/sedimentation and sorption onto *Pinus sylvestris* sawdust. *Journal of Bioresource Technology* 2009; 100(1): 235-43.
- 6-KazemipourM, Ansari M, Tajrobehkar S, et al. Removal of lead, cadmium, zinc, and copper from industrial wastewater by carbon developed from walnut, hazelnut, almond, pistachio shell, and apricot stone. *Journal of Hazardous Materials* 2008; 150(2): 322-7.
- 7-Hua M, Zhang S, Pan B, et al. Heavy metal removal from water/wastewater by nanosized metal oxides: A review. *Journal of Hazardous Materials* 2012; 211-212: 317-31.



- 8-Kaminari NMS, Ponte MJJS, Ponte HA ,et al.Study of the operational parameters involved in designing a particle bed reactor for the removal of lead from industrial wastewater — central composite design methodology.Chemical Engineering Journal 2005; 105(3):111-5.
- 9-Salamatinia B KamaruddinAH, Abdullah AZ.Regeneration and reuse of spent NaOH-treated oil palm frond for copper and ---removal from wastewater.Chemical Engineering Journal 2010; 156(1): 141-5.
- 10-Sekomo CB, Rousseau DPL, Saleh SA, et al.Heavy metal removal in duckweed and algae ponds as a polishing step for textile wastewater treatment.Ecological Engineering 2012; 44: 102-110.
- 11-Shawabkeh R, Al-Harahsheh A, Hami M, et al.Conversion of oil shale ash into zeolite for cadmiumand lead removal from wastewater.Fuel 2004; 83(7–8): 981-985.
- 12-Bayramoglu M, Kobya M, Eyvaz M, et al.Technical and economic analysis of electrocoagulation for the treatment of poultry slaughterhouse wastewater.Separation and Purification Technology 2006; 51(3): 404-8.
- 13-Boroski M, Rodrigues AC, Garcia JC, et al.Combined electrocoagulation and TiO<sub>2</sub> photoassisted treatment applied to wastewater effluents from pharmaceutical and cosmetic industries.Journal of Hazardous Materials 2009; 162(1): 448-54.
- 14-Bouamra F, Drouiche N, Ahmed DS, et al.Treatment of Water Loaded With Orthophosphate by Electrocoagulation.Procedia Engineering 2012;33: 155-62.
- 15-Chavalparit O,Ongwandee M.Optimizing electrocoagulation process for the treatment of biodiesel wastewater using response surface methodology.Journal of Environmental Sciences 2009; 21(11): 1491-96.
- 16-Drouiche N, Aoudj S, Hecini M, et al.Study on the treatment of photovoltaic wastewaterusing electrocoagulation: Fluoride removal with aluminium electrodes Characteristics of products.Journal of Hazardous Materials 2009; 169(1–3): 65-9.
- 17-Malakootian M, Mansoorian HJ,Moosazadeh M.Performance evaluation of electrocoagulation process using iron-rod electrodes for removing hardness from drinking water.Desalination 2010; 255(1–3): 67-71.
- 18-Akyol A.Treatment of paint manufacturing wastewater by electrocoagulation.Journal of Desalination 2012;285: 91-9.
- 19-Belkacem M, Khodir M, Abdelkrim S.Treatment characteristics of textile wastewater and removal of heavy metals using the electroflootation technique. Journal of Desalination 2008; 228(1–3):245-54.



- 20-Pallier V, Feuillade-Cathalifaud G, Serpaud B.Influence of organic matter on arsenic removal by continuous flow electrocoagulation treatment of weakly mineralized waters.*Chemospherejournal* 2011; 83(1): 21-8.
- 21-Ricordel C, Darchen A, Hadjiev D.Electrocoagulation-electroflotation as a surface water treatment for industrial uses.*Journal of Separation and Purification Technology* 2010; 74(3): 342-7.
- 22-Phalakornkule C, Sukkasem P, Mutchimsattha C.Hydrogen recovery from the electrocoagulation treatment of dye-containing wastewater.*International Journal of Hydrogen Energy* 2010; 35(20):10934-43.
- 23-Şengil İA, Kulaç S, Özacar M.Treatment of tannery liming drum wastewater by electrocoagulation.*Journal of Hazardous Materials* 2009; 167(1–3): 940-6.
- 24-Yetilmezsoy K, İlhan F, Sapçı-Zengin Z, et al.Decolorization and COD reduction of UASB pretreated poultry manure wastewater by electrocoagulation process: A post-treatment study.*Journal of Hazardous Materials* 2009; 162(1): 120-32.
- 25-Zodi S, Louvet JN, Michon C, et al.Electrocoagulation as a tertiary treatment for paper mill wastewater: Removal of non-biodegradable organic pollution and arsenic.*Journal of Separation and Purification Technology* 2011; 81(1): 62-8.
- 26-Kobya M, Ulu F, Gebologlu U, et al.Treatment of potable water containing low concentration of arsenic with electrocoagulation: Different connection modes and Fe–Al electrodes.*Journal of Separation and Purification Technology* 2011; 77(3): 283-93.
- 27-Yilmaz AE, Boncukcuoğlu R, Kocakerim MM, et al.Boron removal from geothermal waters by electrocoagulation.*Journal of Hazardous Materials* 2008; 153(1–2): 146-51.
- 28-Kobya M, Demirbas E, Dedeli A, et al.Treatment of rinse water from ---phosphate coating by batch and continuous electrocoagulation processes.*Journal of Hazardous Materials* 2010; 173(1–3): 326-34.
- 29-Vasudevan S, Lakshmi J, Sozhan G.Effects of alternating and direct current in electrocoagulation process on the removal of cadmium from water.*Journal of Hazardous Materials* 2011; 192(1): 26-34.
- 30-Vasudevan S, Lakshmi J, Sozhan G.Studies on the Al–Zn–In-alloy as anode material for the removal of chromium from drinking water in electrocoagulation process.*Desalination* 2011; 275(1–3): 260-8.
- 31-Katal R, Pahlavanzadeh H.Influence of different combinations of aluminum and iron electrode on electrocoagulation efficiency: Application to the treatment of paper mill wastewater.*Desalination* 2011; 265(1–3): 199-205.



- 32-Naas MH, Al-Zuhair S, Al-Lobaney A, et al. Assessment of electrocoagulation for the treatment of petroleum refinery wastewater. *Journal of Environmental Management* 2009; 91(1): 180-5.
- 33-Ghosh D, Solanki H, Purkait MK. Removal of Fe(II) from tap water by electrocoagulation technique. *Journal of Hazardous Materials* 2008; 155(1–2): 135-43.
- 34-Merzouk B, Gourich B, Sekki A, et al. Removal turbidity and separation of heavy metals using electrocoagulation-electroflotation technique: A case study. *Journal of Hazardous Materials* 2009; 164(1): 215-22.
- 35-Vasudevan S, Lakshmi J, Jayaraj J, et al. Remediation of phosphate-contaminated water by electrocoagulation with aluminium, aluminium alloy and mild steel anodes. *Journal of Hazardous Materials* 2009; 164: 1480-6.
- 36-Golder AK, Samanta AN, Ray S. Removal of phosphate from aqueous solutions using calcined metal hydroxides sludge waste generated from electrocoagulation. *Separation and Purification Technology* 2006; 52: 102-9.
- 37-Yıldız YŞ, Koparal AS, Keskinler B. Effect of initial pH and supporting electrolyte on the treatment of water containing high concentration of humic substances by electrocoagulation. *Chemical Engineering Journal* 2008; 138(13) :63-72.
- 38-Cañizares P, Jiménez C, Martínez F, et al. The pH as a key parameter in the choice between coagulation and electrocoagulation for the treatment of wastewaters. *Journal of Hazardous Materials* 2009; 163(1): 158-64.
- 39-Escobar C, Soto-Salazar C, Inés Toral M. Optimization of the electrocoagulation process for the removal of copper, lead and cadmium in natural waters and simulated wastewater. *Journal of Environmental Management* 2006; 81(4): 384-91.
- 40-Heidmann I, Calmano W. Removal of Zn(II), Cu(II), Ni(II), Ag(I) and Cr(VI) present in aqueous solutions by aluminium electrocoagulation. *Journal of Hazardous Materials* 2008; 152(3): 934-41.
- 41-Mouedhen G, Feki M, Wery MDP, et al. Behavior of aluminum electrodes in electrocoagulation process. *Journal of Hazardous Materials* 2008; 150(1): 124-35.
- 42-Modirshahla N, Behnajady MA, Mohammadi-Aghdam S. Investigation of the effect of different electrodes and their connections on the removal efficiency of 4-nitrophenol from aqueous solution by electrocoagulation. *Journal of Hazardous Materials* 2008; 154(1–3): 778-86.



- 43-Abdelwahab O, Amin NK, El-Ashtoukhy ESZ.Electrochemical removal of phenol from oil refinery wastewater.Journal of Hazardous Materials 2009; 163(2–3):711-6.
- 44-Chou WL, Huang YH.Electrochemical removal of indium ions from aqueous solution using iron electrodes.Journal of Hazardous Materials 2009; 172(1): 46-53.
- 45-Zaiad M, Bellakhal N.Electrocoagulation treatment of black liquor from paper industry.Journal of Hazardous Materials 2009; 163(2–3): 995-1000.
- 46-Nanseu-Njiki CP, Tchamango SR, Ngom PC, et al.Mercury(II) removal from water by electrocoagulation using aluminium and iron electrodes.Journal of Hazardous Materials 2009; 168(2–3): 1430- 36.
- 47-Linares-Hernández I, Barrera-Díaz C, Roa-Morales G, et al.Influence of the anodic material on electrocoagulation performance.Chemical Engineering Journal2009; 148(1):97-105.
- 48-Chou WL, Wang CT, Huang KY.Effect of operating parameters on indium (III) ion removal by iron electrocoagulation and evaluation of specific energy consumption.Journal of Hazardous Materials 2009; 167(1–3): 467-74.
- 49-Moussavi G, Majidi F, Farzadkia M.The influence of operational parameters on elimination of cyanide from wastewater using the electrocoagulation process.Journal of Desalination 2011; 280(1–3):127-33.
- 50-Ilhan F, Kurt U, Apaydin O, et al.Treatment of leachate by electrocoagulation using aluminum and iron electrodes.Journal of Hazardous Materials 2008; 154(1–3):381-89.
- 51-Sirajuddin LK, Lutfullah G, et al.Electrolytic recovery of chromium salts from tannery wastewater.Journal of Hazardous Materials 2007; 148(3):560- 65.
- 52-Mansoorian HJ, Rajabizadeh A, Bazrafshan E, et al.Practical assessment of electrocoagulation process in removing nickel metal from aqueous solutions using iron rod electrodes.Journal of Desalination and Water Treatment 2012; 44:29-35.



## Efficiency of the Electrocoagulation Process with Alternating and Direct Current for Eliminating Lead from Battery Industry Wastewater by Using Metal Iron and Stainless Steel Electrodes

Jafari Mansoorian H(M.Sc)<sup>1</sup>, Mahvi AH(Ph.D)<sup>2</sup>, Bazrafshan E(Ph.D)<sup>3</sup>, Jonidi Jafari A(Ph.D)<sup>4</sup>

1. Corresponding Author: Instructor, Health Promotion Research Center, Zahedan University of Medical Sciences, Zahedan, Iran

2. Assistant Professor, Institute for Environmental Research, Tehran University of Medical Sciences, Tehran, Iran

3. Associate Professor , Health Promotion Research Center, Zahedan University of Medical Sciences, Zahedan, Iran

4. Associate Professor , Department of Environmental Health Engineering, Iran University of Medical Sciences, Tehran, Iran

### Abstract

**Introduction:** Lead and zinc are among the most poisonous unnecessary heavy metals available in the environment and are among the first grade poisonous pollutants. In this study the efficiency of electrocoagulation process using alternating and direct current and iron and stainless steel rods for elimination of lead and zinc from battery industrial wastewater has been investigated.

**Methods:** Wastewater samples were taken from the battery building industry. In the electrochemical cell, metal iron and stainless steel rod electrodes were used and were connected together serially and unipolarly to the feeding source.

**Results:** By using alternating current, the elimination of lead and zinc was done successfully with iron electrodes and in the density of  $6 \text{ mA/cm}^2$  which were 96.7% and 95.2% and with stainless steel electrodes in density of  $8 \text{ mA/cm}^2$  which were 93.8% and 93.3% respectively. By using direct current, the optimum elimination of lead and zinc with iron electrodes leveled at 97.2% and 95.5% and in density of  $6 \text{ mA/cm}^2$  and with stainless steel electrodes was equal to 93.2% and 92.5% in density of  $8 \text{ mA/cm}^2$  respectively.

**Conclusion:** The results from this research are in line with the results from other studies. According to the results, this process can be applied as a suitable method for a wide use of electrolyte reactors in industrial scale and for eliminating lead and zinc from aqueous environments.

**Keywords:** Lead removal, Electrocoagulation, Direct Current, Alternating Current, Leads and Zinc, Battery Wastewater,Iron and Stainless Steel Electrode